

This airborne geophysical survey and the production of this map were funded by the Saskatchewan Ministry of Energy and Resources and the GEM-Energy Program of the Earth Sciences Sector, Natural Resources Canada.

Ce levé géophysique aéroporté et la production de cette carte ont été financés par le ministère de l'Énergie et des Ressources de la Saskatchewan et le programme GEM-Energie du Secteur des sciences de la Terre, Ressources naturelles Canada.



Authors: Fortin, R., Coyle, M., Buckle, J., Hefford, S.W. and Delaney, G.

Data acquisition, compilation and map production by Goldak Airborne Surveys, Saskatoon, Saskatchewan. Contract and project management by the Geological Survey of Canada, Ottawa, Ontario.

GSC OPEN FILE 6783 / DOSSIER PUBLIC 6783 DE LA CGC / SMER OPEN FILE 2011-18

GEOLOGICAL SERIES / SÉRIE DES CARTES GÉOPHYSIQUES / AIRBORNE GEOPHYSICAL SURVEY OF THE NORTHWESTERN ATHABASCA BASIN, SASKATCHEWAN / LEVÉ GÉOPHYSIQUE AÉROPORTÉ DE LA PARTIE NORD-OUEST DU BASSIN ATHABASCA, SASKATCHEWAN

NTS 74 J/09 Hartney Lake / SNRC 74 J/09 Hartney Lake

NATURAL AIR ABSORBED DOSE RATE / TAUX D'ABSORPTION NATUREL DES RAYONS GAMMA DANS L'AIR

Scale 1:50 000 - Échelle 1/50 000

Scale bar in metres (0 to 3000) and NAD83 UTM zone 18N

Auteurs: Fortin, R., Coyle, M., Buckle, J., Hefford, S.W. et Delaney, G.

L'acquisition, la compilation des données ainsi que la production des cartes furent effectuées par Goldak Airborne Surveys, Saskatoon, Saskatchewan. La gestion et la supervision du projet furent effectuées par la Commission géologique du Canada, Ottawa, Ontario.

NORTHWESTERN ATHABASCA BASIN GEOPHYSICAL SURVEY, SASKATCHEWAN

Introduction

A quantitative gamma-ray spectrometric and aeromagnetic airborne geophysical survey of the Northwestern Athabasca Basin, Saskatchewan, was completed by Goldak Airborne Surveys. The survey was flown from June 24th to September 21st, 2010 using two Piper PA-31 Navajo aircraft (C-GJBA, C-GJBB) and one Cessna Caravan (C-GLDX).

Gamma-ray Spectrometric Data

The airborne gamma-ray measurements were made with a Radiation Solutions RS-500 gamma-ray spectrometers using fourteen 102x102x406 mm NaI (Tl) crystals. The main detector array consisted of twelve crystals (total volume 50.4 litres). Two crystals (total volume 8.4 litres), shielded by the main array, were used to detect variations in background radiation caused by atmospheric radon.

Potassium is measured directly from the 1460 keV gamma-rays emitted by K⁴⁰, whereas uranium and thorium are measured indirectly from gamma-ray photons emitted by daughter products (Bi²¹⁴ for uranium and Tl²⁰⁸ for thorium). Although these daughters are far down their respective decay chains, they are assumed to be in equilibrium with their parents.

Gamma-ray spectra were recorded at one-second intervals. Data processing followed standard procedures as described in IAEA, 1991 and IAEA, 2003. During processing, the spectra were energy calibrated, and counts were accumulated into the windows described above. Counts from the radon detectors were recorded in a 1600-1800 keV window and radiation at energies greater than 3000 keV was recorded in the cosmic window.

Table 1 Gamma Ray Spectrometer Sensitivities for each aircraft. Columns: C-GJBA, C-GJBB, C-GLDX. Rows: Potassium (cps/μCi), Uranium (cps/ppm), Thorium (cps/ppm).

Table 1. Gamma Ray Spectrometer Sensitivities for each aircraft

Corrected data were filtered and interpolated to a 100 m grid interval. The results of an airborne gamma-ray spectrometer survey represent the average surface concentrations that are influenced by varying amounts of outcrop, overburden, vegetation cover, soil moisture and surface water.

Magnetic Data

The magnetic field was sampled 10 times per second using a split-beam cesium vapour magnetometer (sensitivity = 0.005 nT) rigidly mounted to the aircraft. Differences in magnetic values at the intersections of control and traverse lines were compared to obtain a mutually levelled set of flight line magnetic data.

The first vertical derivative of the magnetic field is the rate of change of the magnetic field in the vertical direction. Computation of the first vertical derivative removes long wavelength features of the magnetic field and significantly improves the resolution of closely spaced and superposed anomalies.

LEVÉ GÉOPHYSIQUE DE LA PARTIE NORD-OUEST DU BASSIN ATHABASCA, SASKATCHEWAN

Introduction

Un levé géophysique aéroporté combinant l'acquisition de données de spectrométrie gamma et de données magnétique a été réalisé dans la partie nord-ouest du bassin de l'athabasca en Saskatchewan par la société Goldak Airborne Surveys. Le levé a été effectué du 24 juin au 21 septembre 2010, à bord de deux avions Piper PA-31 Navajo (C-GJBA, C-GJBB) et d'un Cessna Caravan (C-GLDX).

Données de spectrométrie gamma

Les mesures du rayonnement gamma ont été effectuées à l'aide d'un spectromètre gamma Radiation Solutions RS-500 utilisant quatorze cristaux de NaI (Tl) de 102x102x406 mm. Le réseau de capteurs principal se composait de douze cristaux (volume total de 50,4 litres). Deux cristaux (volume total de 8,4 litres), protégés par le réseau principal, ont été utilisés pour détecter les variations du rayonnement naturel causées par le radon atmosphérique.

Le potassium est mesuré directement grâce les photons gamma de 1460 keV émis par le K⁴⁰, tandis que l'uranium et le thorium sont mesurés indirectement d'après les photons gamma émis par des produits de fission (Bi²¹⁴ pour l'uranium et Tl²⁰⁸ pour le thorium). Bien que ces radionucléides de fission se trouvent loin dans leur chaîne respective de désintégration, on presume qu'ils sont en équilibre avec leur radionucléide père, ainsi, les mesures spectrométriques du rayonnement gamma de l'uranium et du thorium sont désignées comme des équivalents d'uranium et des équivalents de thorium, soit U et Th.

Les spectres du rayonnement gamma ont été enregistrés à intervalle d'une seconde. Le traitement des données a suivi les procédures standards décrites dans IAEA, 1991 et IAEA, 2003. Pendant le traitement, les spectres ont été soumis à un étalonnage énergétique et les coups ont été cumulés dans les plages décrites ci-dessus. Les coups obtenus à l'aide des capteurs de radon ont été enregistrés dans la plage de 1600 à 1800 keV et le rayonnement à des énergies supérieures à 3000 keV a été enregistré dans la plage du rayonnement cosmique.

Les données ont ensuite été corrigées pour tenir compte de la diffusion spectrale dans le sol, l'air et les capteurs. Les correctifs pour les écarts à la hauteur de vol prévue et pour les variations de température et de pression ont ensuite été effectués. Finalement, la conversion en concentrations équivalentes au sol de potassium, d'uranium et de thorium a été réalisée en utilisant des facteurs déterminés lors de vols effectués au-dessus de la bande d'échantonnage de Dorishton, Saskatchewan. Les facteurs pour le potassium, l'uranium et le thorium sont présentés au Tableau 1. Pour la mise en carte, un filtre a été appliqué aux données corrigées, qui ont ensuite été interpolées suivant une grille à maille de 100 m.

Tableau 1. Sensibilités des spectromètres de chacun des aéronefs. Columns: C-GJBA, C-GJBB, C-GLDX. Rows: Potassium (cps/μCi), Uranium (cps/ppm), Thorium (cps/ppm).

Tableau 1. Sensibilités des spectromètres de chacun des aéronefs.

Les résultats d'un levé aéroporté de spectrométrie gamma représentent les concentrations moyennes à la surface. Celles-ci sont influencées par les étendues variables des affaissements, des monts-terrains, de la couverture végétale et de l'eau de surface. Par conséquent, les concentrations mesurées sont habituellement plus faibles que les concentrations réelles dans le substratum rocheux.

Données sur le champ magnétique

Le champ magnétique a été échantillonné 10 fois par seconde à l'aide d'un magnétomètre à vapeur de césium à faisceau partagé (sensibilité = 0,005 nT) rigidement fixé à l'aéronef. Les différences de valeur du champ magnétique aux intersections des lignes de contrôle et des lignes de levé ont été analysées afin d'obtenir un ensemble de données sur le champ magnétique mutuellement nivelées sur les lignes de vol.

La dérivée verticale du champ magnétique représente le taux auquel varie le champ magnétique suivant la verticale. Le calcul de la dérivée première verticale supprime les composantes de grande longueur d'onde du champ magnétique et améliore considérablement la résolution des anomalies rapprochées les unes des autres ou superposées.

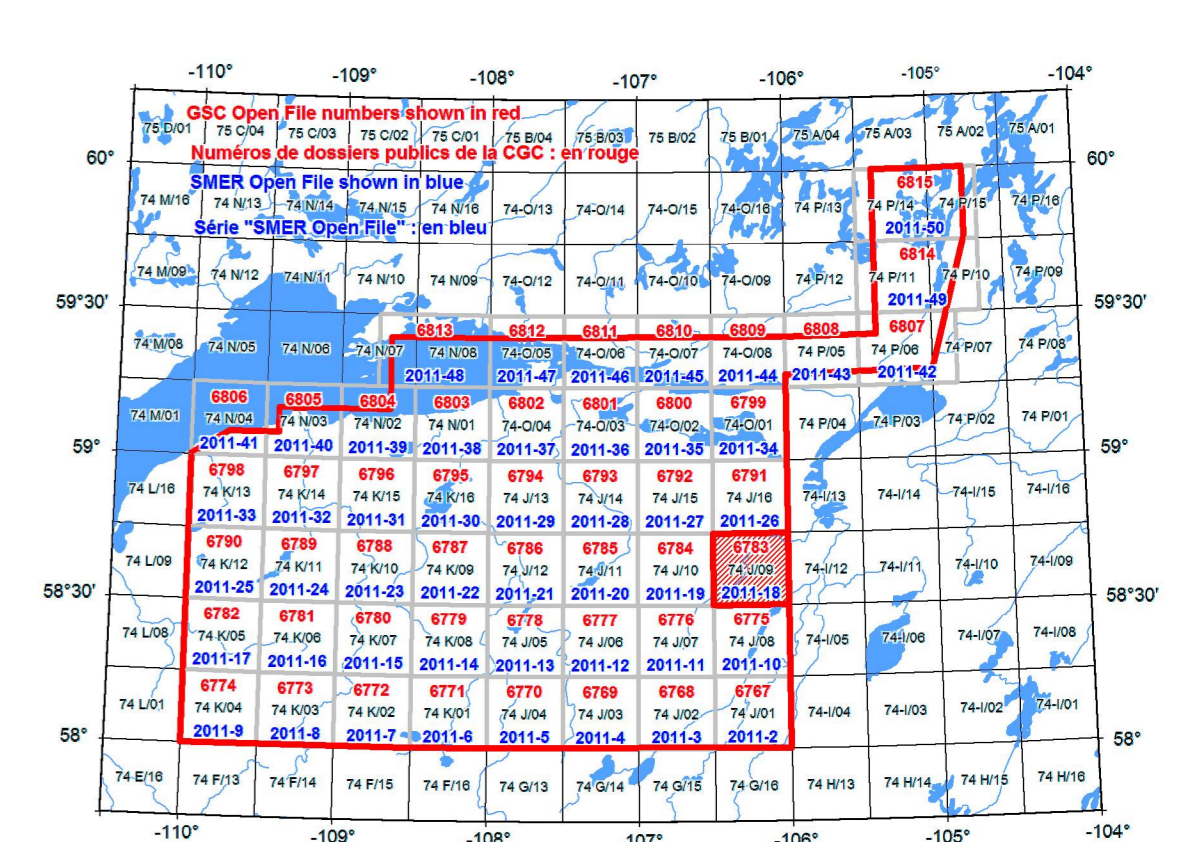
References / Références

- Hood, P.J. 1985. Gradient measurements in aeromagnetic surveying. Geophysics, v.30, p.891-902.
International Atomic Energy Agency, 1991. Airborne gamma ray spectrometer surveying. Technical Reports Series 523, IAEA, Vienna.
International Atomic Energy Agency, 2003. Guide lines for radiometric mapping using gamma ray spectrometry data, Technical Reports Series 1363, IAEA, Vienna

PLANIMETRIC SYMBOLS / SYMBOLES PLANIMÉTRIQUES

Legend for planimetric symbols: Drainage, Highway, Flight line, Autoroute, Ligne de vol.

NATIONAL TOPOGRAPHIC SYSTEM REFERENCE AND GEOPHYSICAL MAP INDEX / SYSTÈME NATIONAL DE RÉFÉRENCE CARTOGRAPHIQUE ET INDEX DES CARTES GÉOPHYSIQUES



AIRBORNE GEOPHYSICAL SURVEY OF THE NORTHWESTERN ATHABASCA BASIN, SASKATCHEWAN / LEVÉ GÉOPHYSIQUE AÉROPORTÉ DE LA PARTIE NORD-OUEST DU BASSIN ATHABASCA, SASKATCHEWAN

Recommended citation: Fortin, R., Coyle, M., Buckle, J., Hefford, S. and Delaney, G., 2011. Geophysical Series, Airborne Geophysical Survey of the Northwestern Athabasca Basin, Saskatchewan, NTS 74 J/09, Hartney Lake, Geological Survey of Canada, Open File 6783; Saskatchewan Ministry of Energy and Resources (SMER), Open File 2011-18.

Notation bibliographique conseillée: Fortin, R., Coyle, M., Buckle, J., Hefford, S. et Delaney, G., 2011. Carte des cartes géophysiques. Levé géophysique aéroporté de la partie nord-ouest du bassin Athabasca, Saskatchewan, SNRC 74 J/09, Hartney Lake, Commission géologique du Canada, Dossier public 6783; Ministère de l'Énergie et des Ressources de la Saskatchewan (SMER), Open File 2011-18; échelle 1:50 000.

MAP SHEET SUMMARY / SOMMAIRE DES FEUILLETS. Table with columns: Sheet, Feuille, MAP / CARTE, and a list of 10 items.

OPEN FILE 2011-18. SASKATCHEWAN MINISTRY OF ENERGY AND RESOURCES. 2011. SHEET 1 OF 10. FEUILLET 1 DE 10.

OPEN FILE DOSSIER PUBLIC 6783. GEOLOGICAL SURVEY OF CANADA / COMMISSION GÉOLOGIQUE DU CANADA. 2011. SHEET 1 OF 10. FEUILLET 1 DE 10.